

Chapter 1

CORDIC

1.1 Algoritmo CORDIC

El algoritmo CORDIC propuesto por Volder realizaba rotaciones en coordenadas circulares. Partiendo de esa base es facil extender su funcionamiento para que realice rotaciones en coordenadas hiperbólicas y lineales. Para lograrlo se agrega una variables que modifica las ecuaciones y además se eligen diferentes angulos para el acumulador de angule (variable z del algoritmo). Las ecuaciones del CORDIC completo son:

$$\begin{aligned}x_{n+1} &= x_n - m \cdot d_n \cdot 2^{-s_{m,n}} \\y_{n+1} &= y_n + d_n \cdot 2^{-s_{m,n}} \\z_{n+1} &= z_n - d_n \cdot \alpha_{m,n}\end{aligned}\tag{1.2}$$

Donde N representa la cantidad de pasos del algoritmo y se cumple que $n = 0, 1, 2, \dots, N-1$. $s_{m,n}$ es una secuencia de números enteros no decreciente llamada *shift sequence* y $\alpha_{m,n}$ representa los angulos rotados para las diferentes coordenadas. d_n es una variable de control que maneja los sumadores/restadores.

$$\alpha_{m,n} = \frac{1}{\sqrt{m}} \cdot \tan^{-1}(\sqrt{m} \cdot 2^{-s_{m,n}})\tag{1.3}$$

Eligiendo correctamente d_n y $s_{m,n}$ el algoritmo converge (ver tabla 1.1). La tabla 1.2 muestra las diferentes salidas del algoritmo. En la table ?? podemos ver las salidas del algoritmo para valores de entrada particulares, estos valores son de especial interés ya que representan operaciones matematicas dificiles de calcular.

Sistema de coordenadas	Shift sequence	Convergencia	Factor de escala
m	$s_{m,n}$	$ A_0 $	$K_m(n \rightarrow \inf)$
1	0,1,2, ... , n	1.74	1.64676
0	1,2,3, ... , n+1	1.0	1.0
-1	1,2,3,4,4, ...	1.13	0.82816

Table 1.1: CORDIC shift sequences

m	Modo	Entradas	Salidas
1	rotation	$x_0 = x$ $y_0 = y$ $z_0 = \theta$	$x_N = K_1 \cdot (x \cos \theta - y \sin \theta)$ $y_N = K_1 \cdot (y \cos \theta + x \sin \theta)$ $z_N = 0$
1	vectoring	$x_0 = x$ $y_0 = y$ $z_0 = \theta$	$x_N = K_1 \cdot \text{sign}(x) \cdot \sqrt{x^2 + y^2}$ $y_N = 0$ $z_N = \theta + \tan^{-1}(y/x)$
0	rotation	$x_0 = x$ $y_0 = y$ $z_0 = \theta$	$x_N = x$ $y_N = y + x \cdot z$ $z_N = 0$
0	vectoring	$x_0 = x$ $y_0 = y$ $z_0 = z$	$x_N = x$ $y_N = 0$ $z_N = z + y/x$
-1	rotation	$x_0 = x$ $y_0 = y$ $z_0 = \theta$	$x_N = K_{-1} \cdot (x \cosh \theta + y \sinh \theta)$ $y_N = K_{-1} \cdot (y \cosh \theta + x \sinh \theta)$ $z_N = 0$
-1	vectoring	$x_0 = x$ $y_0 = y$ $z_0 = \theta$	$x_N = K_{-1} \cdot \text{sign}(x) \cdot \sqrt{x^2 - y^2}$ $y_N = 0$ $z_N = \theta + \tanh^{-1}(y/x)$

Table 1.2: Salidas del algoritmo CORDIC.

Chapter 2

Algoritmo de Briggs para $\ln(x)$

Si se encuentra una secuencia d_k tal que la productoria de x con $(1 + d_k 2^{-k})$ es cercana a 1 entonces vale que:

$$\begin{aligned} x \prod_{k=1}^n (1 + d_k 2^{-k}) &\approx 1 \\ \ln(x) &\approx - \sum_{k=1}^n \ln(1 + d_k 2^{-k}) \end{aligned} \tag{2.2}$$

Chapter 3

BKM

3.1 Origenes

Consideremos el paso básico del algoritmo CORDIC en modo trigonométrico (con $m=1$). Si definimos el número complejo $E_n = x_n + j y_n$ con $j = \sqrt{-1}$, obtenemos $E_{n+1} = E_n(1 + j d_n 2^{-n})$, esta relación es similar al paso básico del algoritmo de Briggs. Esta similitud nos lleva a una generalización de ese algoritmo: podríamos realizar multiplicaciones por terminos $(1 + d_n 2^{-n})$, donde los d_n s son números complejos elejidos de tal manera que la multiplicación por d_n pueda reducirse a unas pocas sumas. Entonces se define el algoritmo BKM de la siguiente manera:

$$\begin{cases} E_{n+1} = E_n \cdot (1 + d_n 2^{-n}) \\ L_{n+1} = L_n - \ln(1 + d_n 2^{-n}) \end{cases} \quad (3.1)$$

con $d_n \in \{0, \pm 1, \pm j, \pm 1 \pm j\}$ y $\ln z$ es el número complejo t tal que $\exp t = z$ y cuya parte imaginaria está entre $-\pi$ y π .

3.2 E-mode

Encontrar una sequencia de d_n tal que $L_n \rightarrow 0$ entonces $E_n \rightarrow E_1 e^{L_1}$.

$$\begin{cases} E_n \rightarrow E_1 e^{L_1} \\ L_n \rightarrow 0 \end{cases} \quad (3.2)$$

3.2.1 Canal de datos

$$\begin{cases} E_{n+1}^x = E_n^x + (d_n^x E_n^x - d_n^y E_n^y) 2^{-n} \\ E_{n+1}^y = E_n^y + (d_n^x E_n^y + d_n^y E_n^x) 2^{-n} \end{cases} \quad (3.3)$$

3.2.2 Canal de control

$$\begin{cases} l_n = 2^n L_n \\ l_{n+1} = 2l_n - 2^{n+1} \ln(1 + d_n 2^{-n}) \\ l_{n+1}^x = 2l_n^x - 2^n \ln[1 + d_n^x 2^{-n+1} - (d_n^{x2} + d_n^{y2}) 2^{-2n}] \\ l_{n+1}^y = 2l_n^y - 2^{n+1} d_n^y \arctan\left(\frac{2^{-n}}{1 + d_n^x 2^{-n}}\right) \end{cases} \quad (3.4)$$

$$2^n \ln(1 + d_n 2^{-n}) \rightarrow 1 \quad \text{as } n \rightarrow +\infty \quad (3.5)$$

3.3 L-mode

Encontrar una sequencia de d_n tal que $E_n \rightarrow 1$ entonces $L_n \rightarrow L_1 + \ln(E_1)$.

$$\begin{cases} E_n \rightarrow 1 \\ L_n \rightarrow L_1 + \ln(E_1) \end{cases} \quad (3.6)$$

3.3.1 Canal de datos

$$\begin{cases} L_{n+1}^x = L_n^x - \frac{1}{2} \ln[1 + d_n^x 2^{-n+1} - (d_n^{x2} + d_n^{y2}) 2^{-2n}] \\ L_{n+1}^y = L_n^y - d_n^y \arctan\left(\frac{2^{-n}}{1 + d_n^x 2^{-n}}\right) \end{cases} \quad (3.7)$$

3.3.2 Canal de control

$$\begin{cases} e_n = 2^n (E_n - 1) \\ e_{n+1} = 2(e_n + d_n) + d_n e_n 2^{-n+1} \\ e_{n+1}^x = 2(e_n^x + d_n^x) + (d_n^x e_n^x - d_n^y e_n^y) 2^{-n+1} \\ e_{n+1}^y = 2(e_n^y + d_n^y) + (d_n^y e_n^x + d_n^x e_n^y) 2^{-n+1} \end{cases} \quad (3.8)$$

Chapter 4

Architecture

4.1 BKM Float

4.2 BKM Fixed

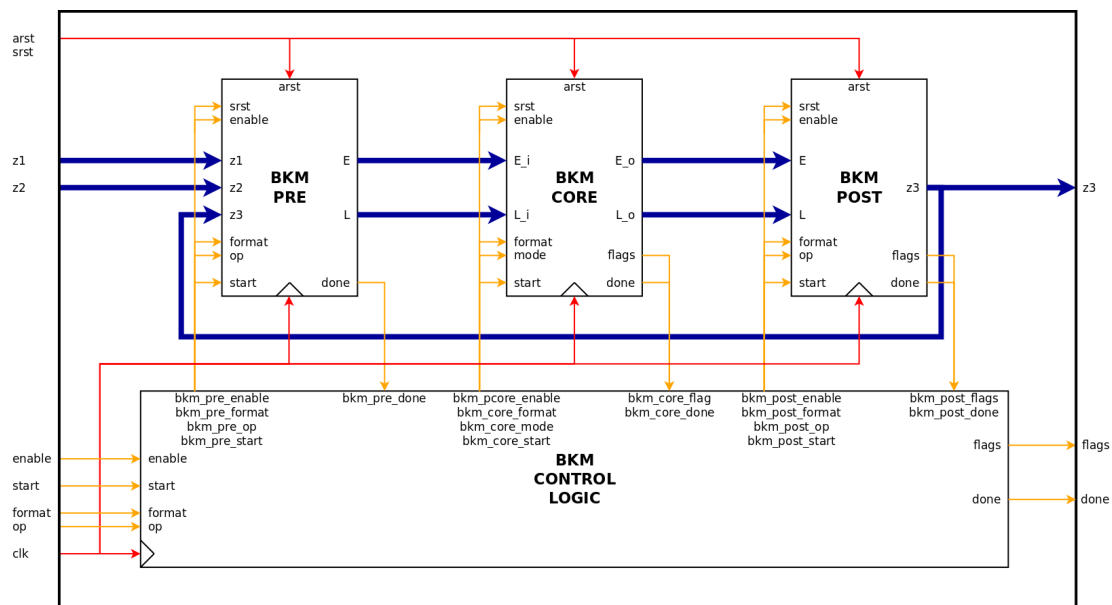


Figure 4.1: Architecture del bloque BKM fixed.

Puerto	Tamaño	Dirección	Descripción
clk	1 bit	Input	Clock signal
arst	1 bit	Input	Active high asynchronous reset signal
srst	1 bit	Input	Active high synchronous reset signal
enable	1 bit	Input	Active high enable signal
start	1 bit	Input	Active high start signal
format	2 bit	Input	Format specifier (0/1): MSB for complex/real, LSB for 64/32 bits
op	5 bits	Input	Operation code
x_1	64 bits	Input	Real part of input variable z1
y_1	64 bits	Input	Imaginary part of input variable z1
x_2	64 bits	Input	Real part of input variable z2
y_2	64 bits	Input	Imaginary part of input variable z2
x_3	64 bits	Output	Real part of output variable z3
y_3	64 bits	Output	Imaginary part of output variable z3
flags	1 bit	Output	Active high invert output signal
done	1 bit	Output	Active high done signal: Stays asserted until start strobe

Table 4.1: Puertos del bloque op decoder.

4.2.1 BKM Pre

4.2.2 BKM Post

4.2.3 BKM Fixed control logic

4.3 BKM Core